



Estimation and Introduction of the Best Coefficients of Monthly Evaporation Pan for Calculations of Water Requirement (Case Study Kermanshah Province)

Houshang Ghamarnia¹ | Meisam Palash² | Maryam Bashipour³

1. Corresponding Author, Department of Water Engineering, Campus of Agriculture and Natural Resources, Razi University, Kermanshah, Iran. E-mail: hghamarnia@razi.ac.ir
2. Department of Water Engineering, Campus of Agriculture and Natural Resources, Razi University, Kermanshah, Iran. E-mail: meisampalash1371@gmail.com
3. Department of Water Engineering, Campus of Agriculture and Natural Resources, Razi University, Kermanshah, Iran. E-mail: hghamarnia@yahoo.co.uk

Article Info

ABSTRACT

Article type:

Research Article

Article history:

Received: 15 June 2022

Received in revised form:

29 July 2022

Accepted: 04 September 2022

Published online:

25 December 2022

Keywords:

Evaporation,

FAO Penman-Monteith,

Kermanshah Province,

Pan Coefficient (K_p).

Evapotranspiration calculations by the FAO Penman-Monteith method require many parameters, the lack of some of which makes the calculations difficult. On the other hand, it is necessary to use methods that are easier to calculate and are easily understood by farmers. One of the indirect methods of estimating reference evapotranspiration is the pan evaporation method, which can be considered as a suitable index to estimate the evapotranspiration of the reference plant and finally the main plant. In this method, in order to calculate the potential evapotranspiration, the results of pan evaporation must be multiplied by the pan coefficient. Accurate calculations related to the estimation of the pan coefficient are very important because it can be used for irrigation planning when there is no lysimeter equipment. In this study, by using of daily, hourly meteorological data, and data from class pan A evaporation from meteorological stations of Kermanshah province in the long term, potential evapotranspiration values of the FAO Penman-Monteith and then pan coefficients were calculated. The index coefficients as a measure of estimation methods for Cuenca, Allan, Snyder, Modified Snyder, and Orang were used. The results showed that the, Orang and modified Snyder method had a higher level of accuracy compared to the other methods. The R² with Orang method for different cities of Islamabad Gharb, Qasr-e Shirin, Kermanshah, Sarrood, Sonqor, Gilan-e Gharb, Sarpol-e Zahab, Kangavar were determined as: 0.84, 0.77, 0.72, 0.76, 0.85, 0.79, 0.77, and 0.73, respectively. Finally, the values of pan coefficients calculated by all methods in study stations in different months were calculated and presented. It is hoped that the results of this study will be used by managers and farmers in the region.

Cite this article: Ghamarnia, H., Palash, M., & Bashipour, M. (2022). Estimation and Introduction of the Best Coefficients of Monthly Evaporation Pan for Calculations of Water Requirement (Case Study Kermanshah Province). *Journal of Water and Irrigation Management*, 12 (4), 747-761. DOI: <http://doi.org/10.22059/jwim.2022.344535.1001>



© The Author(s).

DOI: <http://doi.org/10.22059/jwim.2022.344535.1001>

Publisher: University of Tehran Press.



برآورد و معرفی بهترین ضرایب تشت تبخیر ماهیانه جهت محاسبات نیاز آبی (مطالعه موردي: استان کرمانشاه)

هوشنگ قمرنیا^۱ | میثم پالاش^۲ | مریم بشیپور^۳

۱. نویسنده مسئول، گروه مهندسی آب، پردیس کشاورزی و منابع طبیعی، دانشگاه رازی، کرمانشاه، ایران. رایانمای: hghamarnia@razi.ac.ir
۲. گروه مهندسی آب، پردیس کشاورزی و منابع طبیعی، دانشگاه رازی، کرمانشاه، ایران. رایانمای: meisampalash1371@gmail.com
۳. گروه مهندسی آب، پردیس کشاورزی و منابع طبیعی، دانشگاه رازی، کرمانشاه، ایران. رایانمای: hghamarnia@yahoo.co.uk

اطلاعات مقاله	چکیده
نوع مقاله: مقاله پژوهشی	محاسبات تبخیر و تعرق به روش فائقو-پمن-مانثیث نیازمند پارامترهای زیادی است و کمبود برخی از آنها، محاسبات را با مشکل مواجه می‌سازد. از طرفی، استفاده از روش‌هایی که محاسبات آن‌ها راحت‌تر بوده و به راحتی برای کشاورزان قبل فهم باشد، الزامی است. یکی از روش‌های غیرمستقیم برآورد تبخیر- تعرق مرجع، روش تبخیراز تشت است که می‌تواند به عنوان شاخصی مناسب، برای برآورد تبخیر- تعرق گیاه مرجع و در نهایت گیاه اصلی قلمداد شود. در این روش جهت محاسبه تبخیر- تعرق پتانسیل باید نتایج حاصل از تبخیر تشت را در ضریبی به نام ضریب تشت ضرب نمود. محاسبات دقیق مربوط به برآورد ضریب تشت بسیار دارای اهمیت است، زیرا در موقع فقدان تجهیزات لایسیمتری جهت برنامه‌ریزی‌های آبیاری می‌تواند مورداستفاده قرار گیرد. لذا در این پژوهش با استفاده از داده‌های هواشناسی روزانه، ساعتی و داده‌های تشت تبخیر کلاس A ایستگاه هواشناسی کل استان کرمانشاه در یک دوره درازمدت، مقادیر تبخیر و تعرق پتانسیل از روش فائقو-پمن-مانثیث و سپس مقدار ضریب تشت برآورد شد. ضرایب به دست آمده به عنوان معیاری جهت بررسی تخمین روش‌های کونیکا، آلن پروت، اشنايدر، اشنايدر اصلاح‌شده، اورنگ در نظر گرفته شد. براساس نتایج روش اورنگ و اشنايدر اصلاح‌شده نسبت به سایر روش‌ها از دقت بالاتری برخوردار بودند. مقدار R^2 با روش اورنگ برای شهرستان‌های اسلام‌آبادغرب، قصرشیرین، کرمانشاه، سراورود، سنقر، گیلان‌غرب، سرپل‌ذهاب، کنگاور به ترتیب ۰/۸۴، ۰/۷۷، ۰/۷۶، ۰/۷۲، ۰/۷۹، ۰/۸۵، ۰/۷۳، ۰/۷۷ محاسبه شد. در نهایت مقادیر ضرایب تشت با روش‌های مذکور در ایستگاه‌های مطالعاتی محاسبه و ارائه شد.
تاریخ دریافت: ۱۴۰۱/۰۳/۲۵	نوع مقاله: مقاله پژوهشی
تاریخ بازنگری: ۱۴۰۱/۰۵/۰۷	تاریخ دریافت: ۱۴۰۱/۰۳/۲۵
تاریخ پذیرش: ۱۴۰۱/۰۶/۱۳	تاریخ بازنگری: ۱۴۰۱/۰۵/۰۷
تاریخ انتشار: ۱۴۰۱/۱۰/۰۴	تاریخ پذیرش: ۱۴۰۱/۰۶/۱۳
کلیدواژه‌ها:	استان کرمانشاه، ضریب تشت تبخیر، فائقو-پمن-مانثیث.

استناد: قمرنیا، هـ، پالاش، مـ. و بشیپور، مـ (۱۴۰۱). برآورد و معرفی بهترین ضرایب تشت تبخیر ماهیانه جهت محاسبات نیاز آبی (مطالعه موردی: استان کرمانشاه. نشریه مدیریت آب و آبیاری، ۱۲، ۷۴۷-۷۶۱، ۰۴)، DOI: <http://doi.org/10.22059/jwim.2022.344535.1001>



۱. مقدمه

راندمان بسیار پایین آبیاری و حتی محاسبات نادرست نیاز آبی موجب تلفات بسیار زیاد آب در بخش کشاورزی شده است. از طرفی محاسبات تبخیر و تعرق به روش فائقو-پنمن- مانتیث نیاز به پارامترهای زیادی دارد که کمبود برخی امکانات، محاسبات نیاز آبی را با مشکل مواجه می‌سازد. از روش‌های غیرمستقیم برآورد تبخیر- تعرق مرجع، می‌توان به روش تبخیراز تشث اشاره کرد. محاسبات دقیق مربوط به برآورد ضریب تشث بسیار دارای اهمیت است، زیرا در موقع فقدان تجهیزات لایسیمتری جهت برنامه‌ریزی‌های آبیاری می‌تواند مورداستفاده قرار گیرد. در روش تشث تبخیر جهت محاسبه تبخیر- تعرق پتانسیل باید نتایج حاصل از تبخیر تشث را در ضریبی بهنام ضریب تشث ضرب نمود (Irmak *et al.*, 2002). بنابراین استفاده از روش‌هایی که محاسبات توسط آن‌ها راحت‌تر و مستقل از پارامترهای متعدد هواشناسی باشد، الزامی است. به کارگیری روش ضریب تشث تبخیر اولین بار از سوی Jensen (1974) طرح شد و پژوهش‌گرانی نظیر Raghwanshi and Pereira (1995)، Snyder (1991)، Allen & Pruitt (1982)، Cuenca (1992)، Mohamed *et al.* (2008) و Orang (1998) روابط مختلفی را برای محاسبه این ضریب پیشنهاد دادند. البته هر کدام از این روش‌ها در منطقه خاصی بهترین نتیجه در محاسبه تبخیر و تعرق مرجع را دارند. در واقع دقیق‌ترین روش برای محاسبه این ضریب استفاده از داده‌های هواشناسی هر منطقه برای محاسبه تبخیر و تعرق و اطلاعات تشث تبخیر می‌باشد و با تقسیم این دو رابطه مقدار این ضریب قابل محاسبه بوده و روابط ضریب تشث بدست‌آمده با استفاده از داده‌های لایسیمتر می‌تواند واسنجی شود (Allen *et al.*, 1988). در رابطه با برآورد ضریب تشث در نقاط مختلف جهان پژوهش‌های مختلفی صورت گرفته است و بنا به شرایط حاکم بر هر منطقه یک روش به عنوان بهترین روش انتخاب شده است. براساس نتایج بدست‌آمده از تحقیق Gundekar *et al.* (2008) برای منطقه نیمه‌خشک در استان ماهاراشترا هندوستان بهترین دقت در میزان برآورد ضریب تشث مربوط به روش‌های Snyder (1982) و Cuenca (1992) بوده است.

Ghamarnia *et al.* (2012) در پژوهشی با استفاده از داده‌های روزانه ایستگاه سینوپتیک زنجان مقادیر ETo روزانه را با روش استاندارد محاسبه نمودند و سپس با استفاده از داده‌های تشث تبخیر و ضرب این مقادیر در ضریب تشث به محاسبه مقادیر ETo پرداختند و با روش استاندارد مورد مقایسه قرار دادند و در نهایت در ایستگاه زنجان که دارای اقلیمی نیمه‌خشک است روش اورنگ را به عنوان بهترین روش برآورد تبخیر تعرق معرفی نمودند. ضرایب تشث تبخیر با استفاده از معادله‌های آلن و پروت، اورنگ، اشنایدر و کونیکا در شرایط اقلیم خشک شهر اهواز توسط Shokri *et al.* (2016) محاسبه شد و نتایج نشان داد که در صورت محاسبه ضریب تشث به صورت روزانه و فصلی بهتر است که از روش آلن و پروت استفاده شود و در شرایط محاسبه ضریب تشث در بازه دهروزه استفاده از روش اشنایدر مناسب‌تر می‌باشد. براساس نتایج بدست‌آمده از پژوهش Ghamarnia and Soultani (2019) در ارزیابی روش‌های برآورد تبخیر و تعرق مبتنی بر تشث تبخیر با استفاده از روش فائقو-پنمن- مانتیث بیان کردند که در اقلیم نیمه‌مرطوب روش‌های آلن و پروت، اشنایدر اصلاحی و پریرا و در اقلیم‌های مرطوب و بسیار مرطوب به ترتیب روش‌های اشنایدر اصلاحی و فائقو-پنمن- مناسب‌ترین روش محاسبه ضریب تشث بودند. Ditthakit & Kaewthong (2020) تبخیر و تعرق گیاه مرجع به روش تشث تبخیر را براساس ضرایب تشث کونیکا، اشنایدر، راگووانشی و والندر، آلن و پروت برای تشث کلاس A محاسبه و با برآوردهای چندین روش کامپیوترا مقایسه نمودند و بیان کردند ماشین بردار پشتیبان (SVR)^۱ برآوردهای بهتری از تبخیر و تعرق گیاه مرجع تشث کلاس A در دو حالت محصور در پوشش گیاهی و بدون پوشش گیاهی و برآوردهای روش Raghwanshi and Wallender (1998) در رتبه بعد از روش‌های کامپیوترا قرار گرفت.

نتایج پژوهش Zare abianeh and Smaeili (2021) در ارزیابی روش‌های برآورد ضریب تشت برای محاسبه مقدار تبخیر و تعرق در استان کردستان نشان داد که در مقیاس روزانه، ماهانه و فصلی روش FAO-24 (1997) بهترین عملکرد و روش‌های Allen and Pruitt (1991) Raghuwanshi and Wallender (1998) بهترین عملکرد را داشتند. Samii *et al.* (2022) به منظور ارزیابی کارایی مدل LSTM^۲ در برآورد میزان تبخیر از تشت در مناطق خشک و نیمه‌خشک سمنان و گرمسار و مقایسه آن با مدل MLP^۳، از داده‌های هواشناسی روزانه ثبت شده بین سال‌های ۲۰۰۰ تا ۲۰۱۸ در ایستگاه‌های سینوپتیک سمنان و گرمسار استفاده نمودند و بیان کردند که مدل‌های مذکور در پیش‌بینی میزان تبخیر عملکرد خوبی داشتند و همچنین در هر دو ایستگاه عملکرد مدل LSTM^۴ بهتر بود و میزان R^۲ پیش‌بینی و MAE کمتری نسبت به مدل MLP داشت. از آنجاکه تاکنون مطالعات در رابطه با محاسبه ضریب تشت در اکثر ایستگاه‌های استان کرمانشاه صورت نگرفته است، لذا هدف این پژوهش محاسبه ضریب تشت تبخیر با استفاده از داده‌های روزانه کل ایستگاه هواشناسی این استان در یک دوره ۳۰ ساله به منظور برنامه‌ریزی‌های دقیق‌تر آبیاری و محاسبات نیاز آبی می‌باشد. در نهایت مقادیر ضرایب تشت محاسبه‌شده با همه روش‌ها در ایستگاه‌های مطالعاتی در ماه‌های مختلف محاسبه و ارائه شد. نتایج به دست آمده از این پژوهش می‌تواند مورد استفاده مدیران و کشاورزان منطقه جهت برنامه‌ریزی آبیاری واقع شود.

۲. مواد و روش‌ها

در ابتدا با استفاده از داده‌های هواشناسی روزانه از سال ۱۳۶۹ تا ۱۳۹۹ (۳۰ سال اخیر) ایستگاه‌های کرمانشاه، اسلام‌آبادغرب، سرپل ذهاب، قصرشیرین، گیلان‌غرب، سرارود، کنگاور، سقرا با مشخصات جغرافیایی ارائه شده در جدول (۱)، مقادیر تبخیر و تعرق روزانه گیاه مرجع به روش فائو-پنم-مانتیث از رابطه (۱) محاسبه شد.

$$ET_{To} = \frac{0.408\Delta(R_n - G) + \gamma \frac{900}{T + 273} M_2(e_s - e_a)}{\Delta + \gamma(1 + 0.34u_2)} \quad (1)$$

در رابطه (۱)، ET_{To} تبخیر و تعرق مرجع (MJm^{-2}/d), R_n تابش خالص در سطح پوشش گیاهی (mm/day), T متوسط دمای هوا در ارتفاع ۲ متری از سطح زمین (ms^{-1}), $e_s - e_a$ کمبود فشار بخار در ارتفاع ۲ متری (kpa), Δ شبیب منحنی فشار بخار (kpa/c), γ ضریب رطوبتی (kpa/c), G شار گرمای داخل خاک (MJm^{-2}/d). سپس مقدار ضریب تشت با استفاده از رابطه (۲) محاسبه شد.

$$ET_{To} = K_p \times E_{pan} \quad (2)$$

در رابطه (۲)، E_{pan} تبخیر از تشت بر حسب (mm/day) که بیان گر متوسط مقادیر روزانه تبخیر در دوره موردبررسی است و K_p ضریب تشت می‌باشد.

Table 1. Geographical characteristics of stations in Kermanshah province

Row	Station	Longitude	Latitude	Altitude (m)	Station type
1	Kermanshah	47° 1'	34° 32'	1318.6	Synoptic
2	Islamabad Gharb	46° 5'	34° 15'	1379.7	Synoptic
3	Sarpol-e-Zahab	45° 9'	34° 5'	545	Synoptic
4	Kangavar	47° 99'	34° 5'	545	Synoptic
5	Somqor	47° 66'	34° 85'	1700	Climatology
6	Qasr-e Shirin	45° 6'	34° 46'	357.6	Climatology
7	Gilan-e Gharb	45° 60'	34° 15'	816.3	Climatology
8	Sarrood	47° 18'	34° 2'	1361.7	Synoptic

۱.۲ روش‌های محاسبه ضریب تشت

در این پژوهش از روابط زیر جهت محاسبه ضریب تشت استفاده شد.

رابطه (۳) کوئیکا:

$$K_p = 0.475 - (2.4 \times 10^{-4} \times U) + (5.16 \times 10^{-3} \times RH) - (1.8 \times 10^{-3} \times F) - (1.6 \times 10^{-5} \times RH) - (1.01 \times 10^{-6} \times F^2) - (8 \times 10^{-9} \times RH^2 \times U) - (1 \times 10^{-8} \times RH^2 \times F)$$

رابطه (۴) آلن بروت:

$$K_p = 0.108 - (3.31 \times 10^{-4} \times U) + (0.0422 \times \ln(F)) + (0.1434 \times \ln(RH)) - (6.31 \times 10^{-4}) \times [\ln(F)]^2 \times \ln(RH))$$

رابطه (۵) اشنایدر:

$$K_p = 0.482 - (3.76 \times 10^{-4} \times U) + (0.024 \times \ln(F)) + (0.0045 \times RH)$$

رابطه (۶) اشنایدر اصلاح شده:

$$K_p = 0.5321 - (3 \times 10^{-4} \times U) + (0.0249 \times \ln(F)) + (0.0025 \times RH)$$

رابطه (۷) اورنگ:

$$K_p = 0.51206 - (3.21 \times 10^{-4} \times U) + (0.0288945 \times RH) + 0.031885 \times (\ln(F)) - (1.07 \times 10^{-4} \times RH \times \ln(F))$$

که در این روابط K_p ضریب تشت، U سرعت باد (Km^{-1})، RH رطوبت نسبی (Percent)، F فاصله سبزینگی از جهتی که باد به سمت تشت می‌وزد (m).

این روابط با استفاده از اطلاعات روزانه ایستگاه هواشناسی کل استان برای هر شهرستان به طور جداگانه محاسبه شد و با معیارهای آماری مانند ضریب همبستگی (r)، جذر میانگین مربع های خطای (RMSE)، میانگین خطای متوسط (MBE)، ضریب تبیین (R^2) و میانگین خطای مطلق (MAD) موردمقایسه قرار گرفتند. روش محاسبه این معیارها به صورت روابط زیر می‌باشد.

رابطه (۸) میانگین خطای مطلق:

$$MAD = \frac{1}{N} \times \sum_{i=1}^N |Kp_{K,i} - Kp_{O,i}|$$

رابطه (۹) جذر میانگین مربع خطاهای:

$$RMSE = \left[\frac{1}{N} \times \sum_{i=1}^N \{Kp_{K,i} - Kp_{O,i}\}^2 \right]^{1/2}$$

رابطه (۱۰) میانگین خطای متوسط:

$$MBE = \sum_{i=1}^N (Kp_{K,i} - Kp_{O,i}) / N$$

رابطه (۱۱) ضریب همبستگی:

$$r = \frac{\sum_{i=1}^N (Kp_{K,i} - \bar{Kp}_K)(Kp_{O,i} - \bar{Kp}_O)}{\sqrt{\sum_{i=1}^N (Kp_{K,i} - \bar{Kp}_K)^2 (Kp_{O,i} - \bar{Kp}_O)^2}}$$

که در این روابط:

KP_K مقدار مشاهده شده، KP_O مقدار برآورده شده توسط روش‌های مختلف، \bar{Kp}_k متوسط مقادیر مشاهدات و \bar{Kp}_o متوسط مقادیر برآورده شده توسط روش‌های مختلف می‌باشد.

۳. نتایج و بحث

در جدول (۲) معیارهای آماری مربوط به هر روش برای ایستگاه موردنظر در شهرستان‌های مختلف نسبت به روش استاندارد (استفاده از تبخیر و تعرق پتانسیل فاکتو پنمن- مانیث و تشت تبخیر) آمده است.

Table 2. Comparison of different methods for estimating evaporation coefficient with different statistical criteria

Station	Model	RMSE	MAD	MBE	r
Islamabad Gharb	Cuenca (1989)	8.78	0.16	-0.16	0.92
	Allen and Pruitt (1991)	10.0	0.18	-0.18	0.87
	Snyder (1992)	10.2	0.18	-0.18	0.91
	Modified Snyder	9.2	0.16	-0.16	0.92
	Orang (1998)	6.0	0.1	-0.1	0.92
Qasr-e Shirin	Cuenca (1989)	3.1	0.1	-0.1	0.88
	Allen and Pruitt (1991)	3.7	0.12	-0.11	0.86
	Snyder (1992)	3.9	0.12	-0.12	0.88
	Modified Snyder	3.4	0.1	-0.1	0.88
	Orang (1998)	2.1	0.06	-0.03	0.88
Gilan-e Gharb	Cuenca (1989)	3.61	0.12	-0.12	0.89
	Allen and Pruitt (1991)	4.1	0.14	-0.14	0.88
	Snyder (1992)	4.4	0.14	-0.14	0.89
	Modified Snyder	4.0	0.13	-0.13	0.89
	Orang (1998)	2.35	0.08	-0.06	0.89
Station	Model	RMSE	MAD	MBE	r
Sarrood	Cuenca (1989)	6.67	0.15	-0.15	0.88
	Allen and Pruitt (1991)	7.9	0.18	-0.18	0.87
	Snyder (1992)	8.0	0.18	-0.18	0.87
	Modified Snyder	7.6	0.17	-0.17	0.87
	Orang (1998)	4.8	0.11	-0.1	0.87
Kermanshah	Cuenca (1989)	5.3	0.12	-0.11	0.83
	Allen and Pruitt (1991)	6.35	0.14	-0.14	0.85
	Snyder (1992)	6.54	0.15	-0.14	0.85
	Modified Snyder	6.15	0.14	-0.13	0.85
	Orang (1998)	3.8	0.08	-0.06	0.85
Kangavar	Cuenca (1989)	4.12	0.07	-0.06	0.85
	Allen and Pruitt (1991)	2.6	0.09	-0.08	0.86
	Snyder (1992)	5.5	0.09	-0.09	0.85
	Modified Snyder	4.4	0.07	-0.06	0.86
	Orang (1998)	5.4	0.04	0.0	0.84
Sonqor	Cuenca (1989)	0.9	0.02	6.8	0.92
	Allen and Pruitt (1991)	0.95	0.04	-0.02	0.91
	Snyder (1992)	1.3	0.04	-0.03	0.92
	Modified Snyder	1.0	0.04	-0.01	0.92
	Orang (1998)	0.65	0.05	0.05	0.92
Sarpole-Zahab	Cuenca (1989)	11.0	0.15	-0.14	0.88
	Allen and Pruitt (1991)	11.3	0.15	-0.15	0.86
	Snyder (1992)	12.3	0.17	-0.16	0.88
	Modified Snyder	10.0	0.14	-0.13	0.88
	Orang (1998)	6.5	0.09	-0.06	0.88

همان‌طور که در جدول (۲) نشان داده شده، روش اورنگ برای اکثر شهرستان‌ها دارای مقدار ضریب همبستگی بالاتر با مقدار خطای کمتری بوده است. نتایج نشان داد که برای شهرستان‌های اسلام‌آبادغرب، قصرشیرین و گیلان‌غرب به ترتیب روش اورنگ، کونیکا و اشنایدر اصلاح شده از ضریب همبستگی بالا و مقدار خطای کمتری برخوردار هستند. در شهرستان سراوود، روش کونیکا از ضریب همبستگی بالاتری برخوردار بود. در شهرهای کرمانشاه، کنگاور و سنقر و سرپل‌ذهاب روش اورنگ و اشنایدر اصلاح شده بهترین ضریب همبستگی را داشتند. در شکل (۱) مقدار R^2 بین ضریب تشت محاسبه شده توسط تشت تبخیر و روش‌های ارائه شده، آمده است.

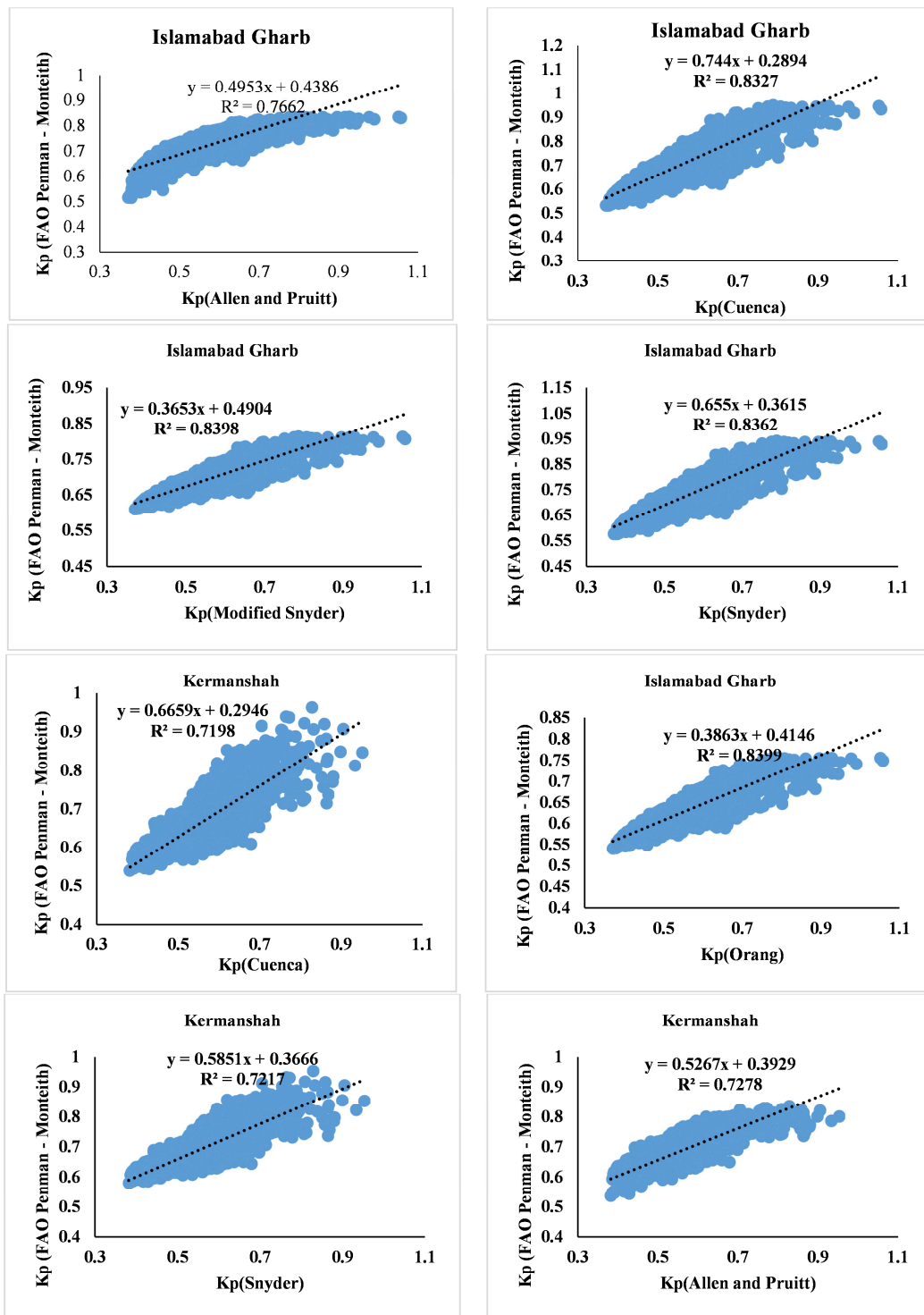
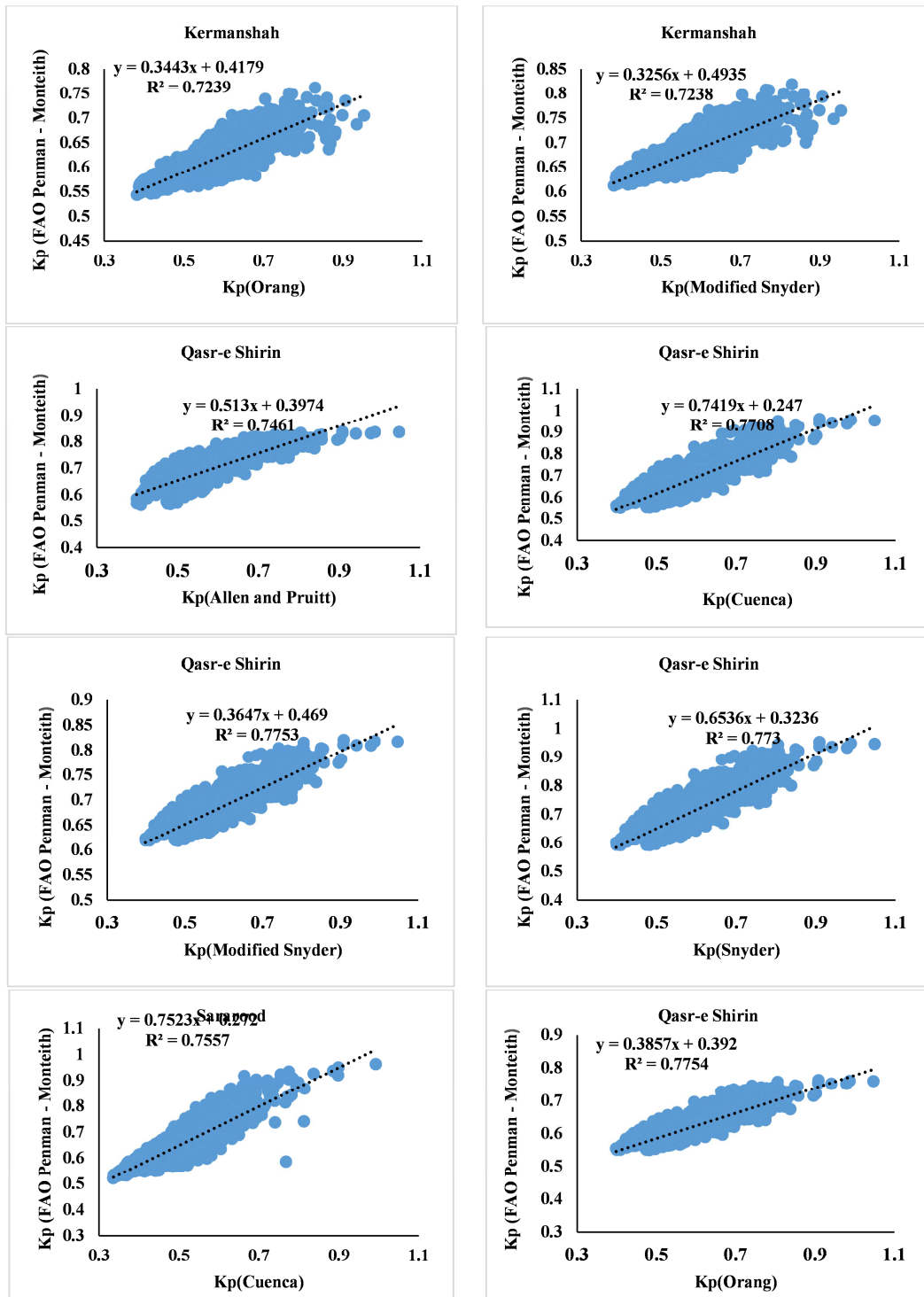
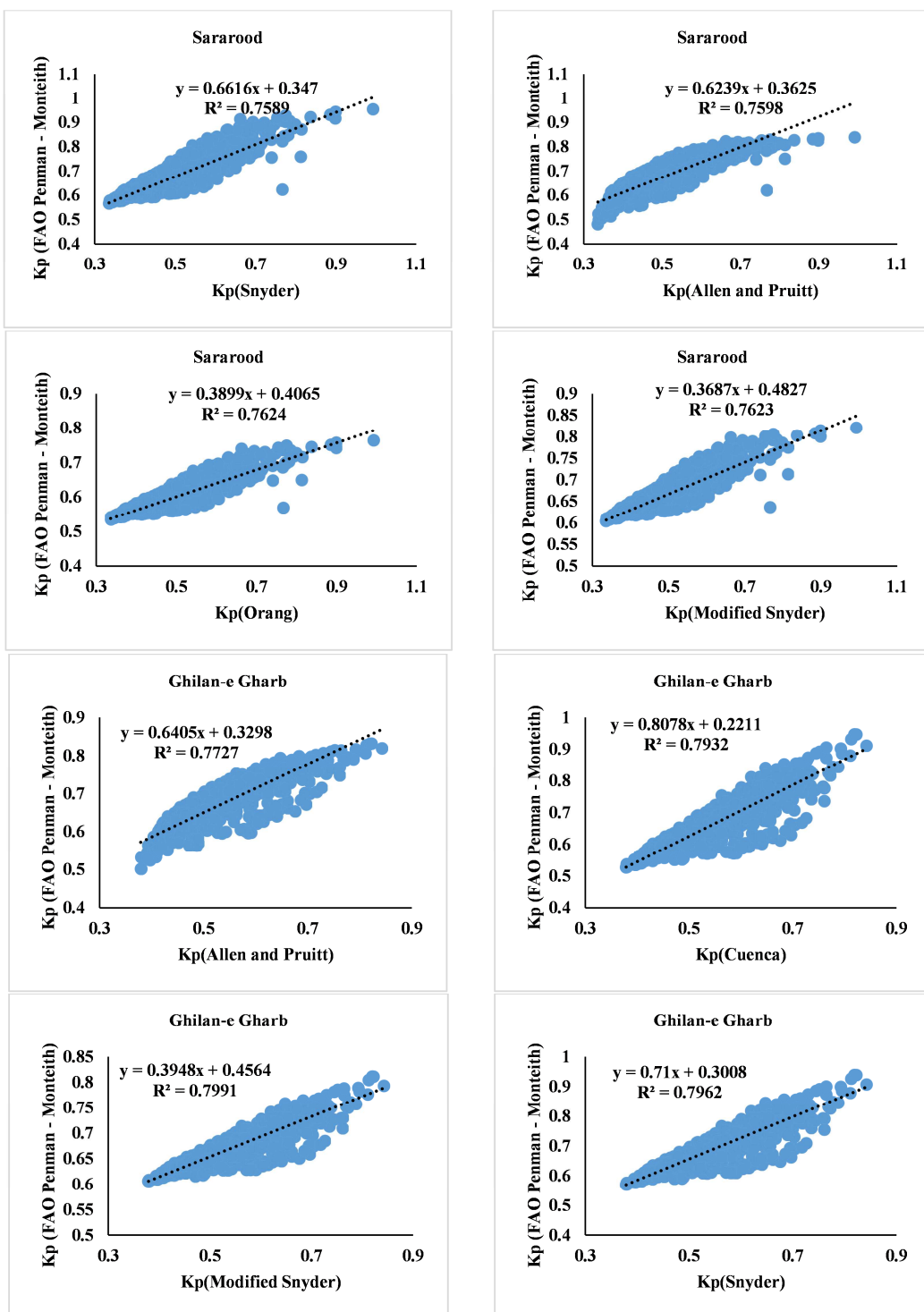


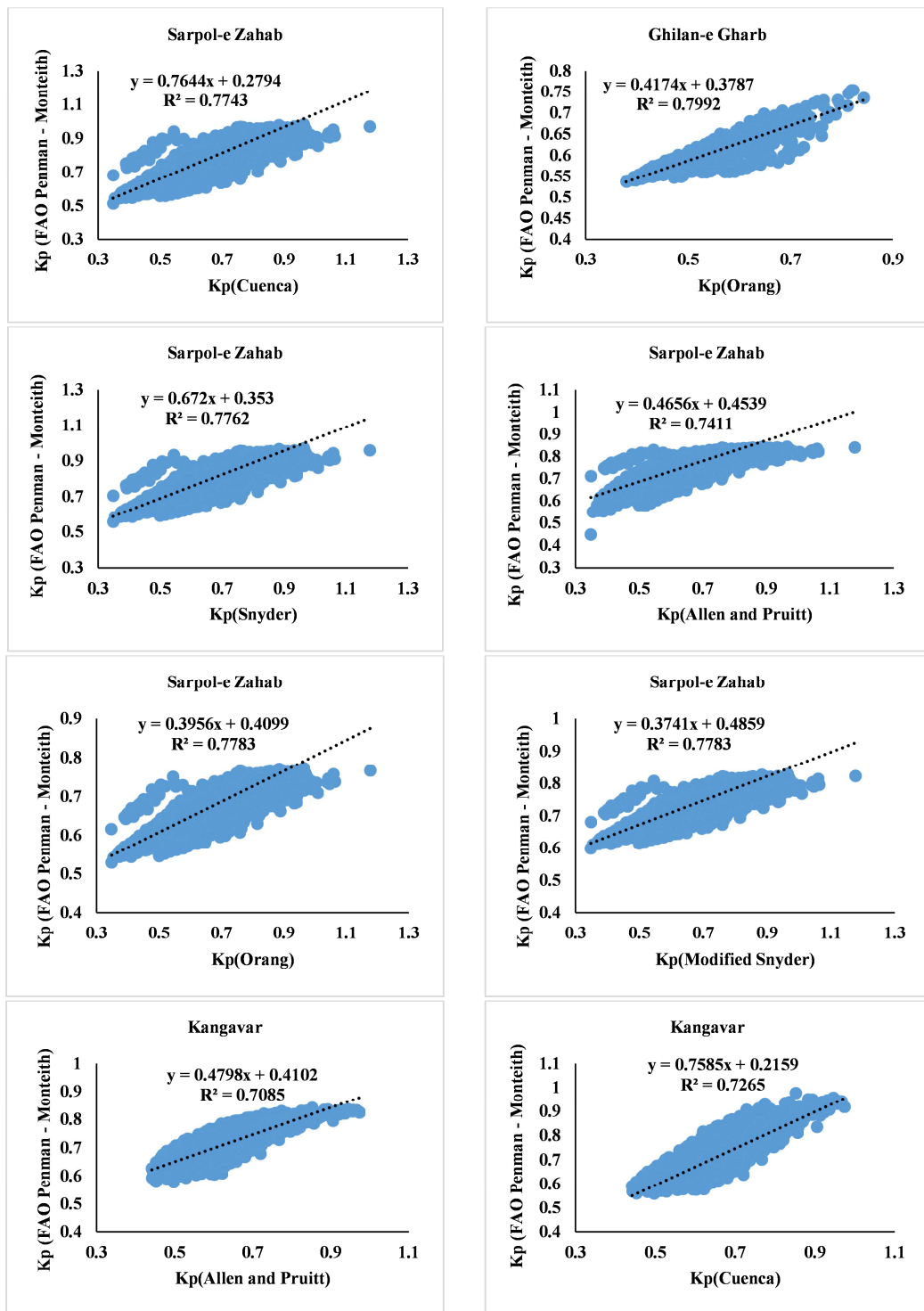
Figure 1. Correlation coefficients between Kc estimated by the FAO Penman - Monteith and Cuenca, Allen and Pruitt, Snyder, modified Snyder and Orang at the studied stations



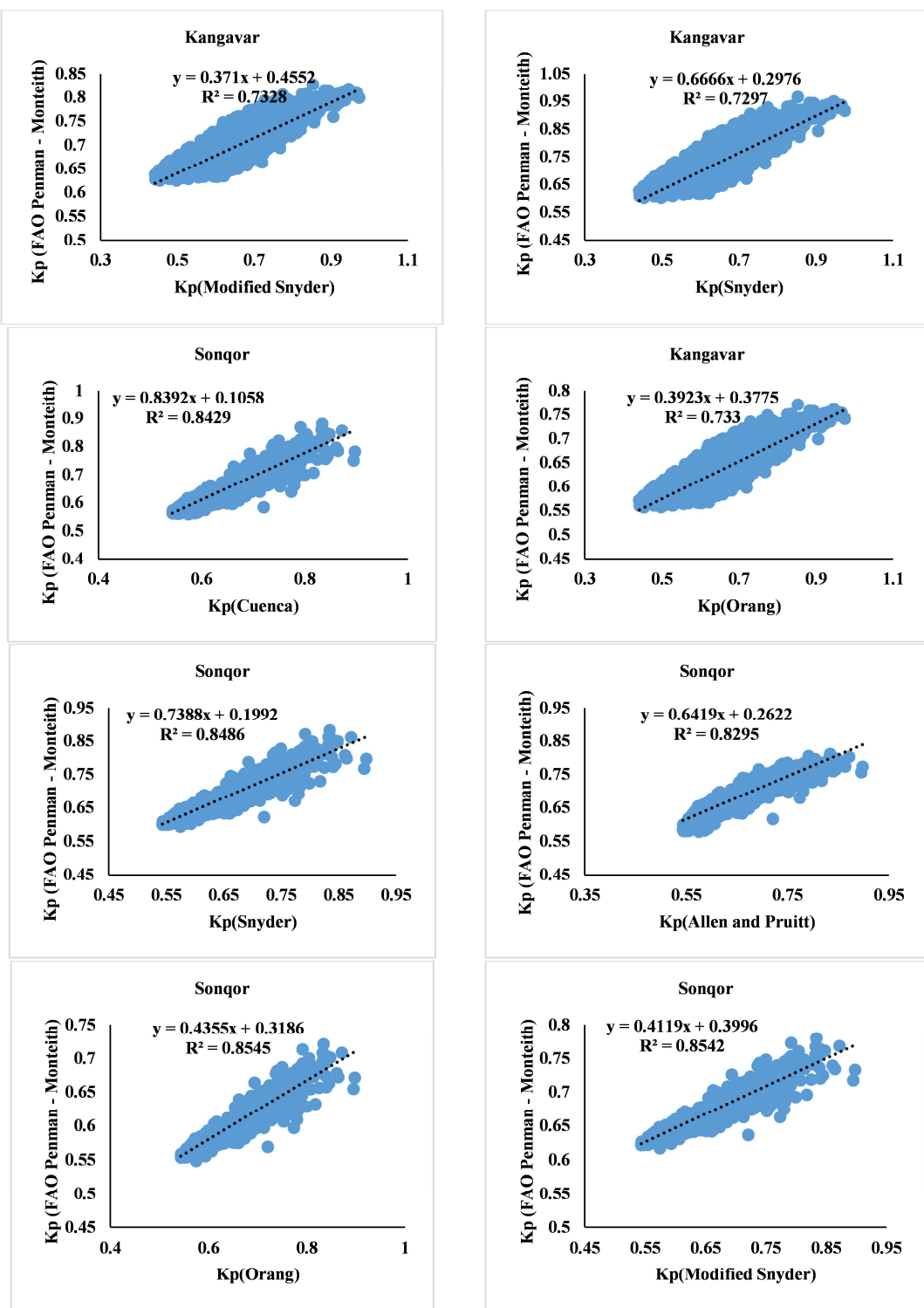
Continued figure 1. Correlation coefficients between K_c estimated by the FAO Penman - Monteith and Cuenca, Allen and Pruitt, Snyder, modified Snyder and Orang at the studied stations



Continued figure 1. Correlation coefficients between Kc estimated by the FAO Penman - Monteith and Cuenca, Allen and Pruitt, Snyder, modified Snyder and Orang at the studied stations



Continued figure 1. Correlation coefficients between K_c estimated by the FAO Penman - Monteith and Cuenca, Allen and Pruitt, Snyder and modified Snyder and Orang at the studied stations



Continued figure 1. Correlation coefficients between K_c estimated by the FAO Penman - Monteith and Cuenca, Allen and Pruitt, Snyder, modified Snyder and Orang at the studied stations

همان طور که در شکل (۱) نشان داده شده برای شهرستان‌های اسلام‌آبادغرب، قصرشیرین، گیلان‌غرب، سارود روش اورنگ، از ضریب R^2 بالاتری برخوردار بود. برای شهرهای کرمانشاه روش آلن و پروت ضریب R^2 مناسب‌تری نسبت به سایر روش‌ها از خود نشان داد. در شهرستان‌های کنگاور، سقرا و سرپل‌ذهاب روش اورنگ و اشنایدر اصلاح‌شده بهترین ضریب R^2 را داشتند. در مجموع براساس نتایج بدست‌آمده در اکثر ایستگاه‌های مورد بررسی روش اورنگ و اشنایدر اصلاحی نتایج بهتری از خود ارائه دادند. (Nazemi et al. 2021) در ارزیابی روش‌های مختلف تعیین ضریب تشت تبخیر کلاس A جهت تخمین تبخیر تعریق روزانه در منطقه اسلام‌آبادغرب بیان کردند که روش اورنگ با میزان $R^2 = 0.98$ نسبت به سایر روش‌ها برتری دارد که با نتایج بدست‌آمده در پژوهش حاضر هماهنگی دارد. (Akbari Nodehi 2010) روش اورنگ را برای محاسبه ضریب تشت در منطقه ساری مناسب دانست. (Ghamarnia et al. 2012) جهت محاسبه ضریب تشت در منطقه زنجان روش اورنگ را به عنوان روشی مناسب بیان نمودند. (Ahmadi et al. 2011) نیز در پژوهش خود در بررسی دقت شبکه عصبی مصنوعی در برآورد تبخیر تعریق مرجع و ضریب تشت تبخیر در مقایسه با روش‌های برآورد ضریب تشت به نتایج مشابهی دست یافتند. به‌طور کلی، مشاهده می‌شود که روش‌های اورنگ و اشنایدر اصلاح‌شده که تابعی از سرعت باد، رطوبت نسبی و فاصله پوشش گیاهی از تشت می‌باشد نسبت به سایر روش‌ها نتایج نزدیک‌تری نسبت به مقادیر واقعی تبخیر تعریق را برآورد نموده و روش آلن و پروت نسبت به سایر روش‌ها از دقت کمتری برخوردار هستند. لذا جهت محاسبه تبخیر تعریق در استان کرمانشاه در صورت عدم دسترسی به داده‌های لایسیمتری و مقادیر تبخیر تعریق روزانه بهتر است از روش‌های اورنگ و یا اشنایدر اصلاح‌شده جهت برآورد تبخیر تعریق برای روزهای مختلف سال استفاده نمود. در جدول (۳) مقادیر محاسبه‌شده ضریب تشت در روش‌های مختلف در هر ماه در شهرستان‌های مختلف محاسبه و ارائه شده است.

Table 3. The values of the pan coefficient calculated in the study stations in different months

Station	Model	Apr	May	Jun	Jul	Aug	Sep	Oct	Nov	Dec	Jan	Feb	Mar
Islamabad Gharb	Cuenca	0.77	0.72	0.64	0.61	0.6	0.47	0.7	0.8	-	-	-	-
	Allen	0.76	0.73	0.67	0.65	0.65	0.63	0.7	0.78	-	-	-	-
	Snyder	0.78	0.74	0.67	0.65	0.64	0.66	0.72	0.8	-	-	-	-
	Modified Snyder	0.72	0.7	0.66	0.65	0.65	0.66	0.7	0.7	-	-	-	-
	Orang	0.66	0.64	0.6	0.58	0.58	0.59	0.63	0.68	-	-	-	-
Qasr-e Shirin	Cuenca	0.73	0.64	0.59	0.5	0.6	0.6	0.67	0.72	0.76	0.8	0.8	0.71
	Allen	0.73	0.67	0.62	0.61	0.63	0.64	0.7	0.74	0.75	0.78	0.78	0.73
	Snyder	0.74	0.67	0.63	0.64	0.63	0.64	0.7	0.74	0.77	0.81	0.81	0.73
	Modified Snyder	0.7	0.66	0.64	0.65	0.64	0.65	0.68	0.7	0.72	0.74	0.74	0.7
	Orang	0.64	0.59	0.57	0.58	0.57	0.58	0.61	0.64	0.66	0.7	0.68	0.64
Gilan-e Gharb	Cuenca	0.72	0.64	0.58	0.58	0.58	0.59	0.67	0.71	0.77	0.78	0.77	0.72
	Allen	0.73	0.67	0.6	0.6	0.6	0.62	0.7	0.73	0.76	0.76	0.76	0.73
	Snyder	0.74	0.67	0.6	0.62	0.61	0.63	0.7	0.73	0.78	0.79	0.78	0.73
	Modified Snyder	0.7	0.66	0.63	0.63	0.63	0.64	0.68	0.7	0.72	0.73	0.72	0.7
	Orang	0.63	0.6	0.56	0.56	0.56	0.57	0.61	0.63	0.66	0.67	0.66	0.63
Sarrood	Cuenca	0.73	0.67	0.6	0.6	0.6	0.6	0.65	0.73	-	-	-	-
	Allen	0.74	0.7	0.64	0.64	0.63	0.63	0.68	0.74	-	-	-	-
	Snyder	0.75	0.7	0.64	0.64	0.63	0.64	0.68	0.75	-	-	-	-
Sarrood	Modified Snyder	0.7	0.68	0.65	0.64	0.64	0.64	0.67	0.7	-	-	-	-
	Orang	0.64	0.61	0.58	0.58	0.58	0.58	0.6	0.64	-	-	-	-
Kermanshah	Cuenca	0.76	0.71	0.61	0.6	0.59	0.6	0.65	0.75	-	-	-	-
	Allen	0.76	0.73	0.65	0.63	0.62	0.63	0.68	0.75	-	-	-	-
	Snyder	0.77	0.73	0.64	0.63	0.62	0.63	0.68	0.77	-	-	-	-
	Modified Snyder	0.72	0.7	0.65	0.64	0.64	0.64	0.67	0.72	-	-	-	-
	Orang	0.66	0.63	0.58	0.57	0.57	0.58	0.6	0.65	-	-	-	-
Kangavar	Cuenca	0.78	0.75	0.67	0.64	0.63	0.64	0.7	0.79	-	-	-	-
	Allen	0.77	0.75	0.7	0.68	0.67	0.68	0.7	0.77	-	-	-	-
	Snyder	0.8	0.77	0.7	0.67	0.66	0.72	0.72	0.8	-	-	-	-
	Modified Snyder	0.73	0.7	0.7	0.67	0.66	0.69	0.69	0.74	-	-	-	-
	Orang	0.67	0.65	0.6	0.6	0.59	0.63	0.63	0.7	-	-	-	-

Continued table 3. The values of the pan coefficient calculated in the study stations in different months

Station	Model	Apr	May	Jun	Jul	Aug	Sep	Oct	Nov	Dec	Jan	Feb	Mar
Sonqor	Cuenca	0.74	0.72	0.72	0.62	0.62	0.61	0.68	0.72	-	-	-	-
	Allen	0.73	0.73	0.73	0.66	0.66	0.64	0.7	0.73	-	-	-	-
	Snyder	0.74	0.74	0.74	0.66	0.65	0.64	0.7	0.74	-	-	-	-
	Modified Snyder	0.7	0.70	0.7	0.65	0.65	0.65	0.68	0.7	-	-	-	-
	Orang	0.64	0.63	0.63	0.59	0.59	0.58	0.61	0.64	-	-	-	-
Sarpol-e-Zahab	Cuenca	0.77	0.7	0.62	0.61	0.62	0.64	0.7	0.77	0.85	0.86	0.85	0.8
	Allen	0.76	0.71	0.66	0.64	0.65	0.68	0.71	0.76	0.8	0.8	0.8	0.78
	Snyder	0.79	0.72	0.66	0.64	0.65	0.67	0.71	0.79	0.85	0.86	0.85	0.82
	Modified Snyder	0.73	0.69	0.66	0.65	0.65	0.66	0.68	0.73	0.76	0.77	0.76	0.74
	Orang	0.67	0.63	0.59	0.58	0.58	0.6	0.62	0.67	0.7	0.71	0.7	0.68

۴. نتیجه‌گیری

در این پژوهش با توجه به اهمیت مدل فائق- پنم- مانیث و نظر به این که مدل مذکور جهت محاسبه تبخیر و تعرق مرجع بسیار مورد توجه است و جهت بررسی کارایی بهره‌گیری از ضریب تشت تبخیر جهت محاسبه تبخیر و تعرق گیاه مرجع در استان کرمانشاه، نتایج پنج روش کونیکا، آلن و پروت، اشنایدر اصلاح شده و ضریب اورنگ نسبت به مدل فائق- پنم- مانیث به صورت روزانه در هشت ایستگاه اسلام‌آبادغرب، کرمانشاه، قصرشیرین، سراوود، گیلان‌غرب، سرپل‌ذهب، کنگاور و سقرا مورد بررسی قرار گرفتند. با توجه به نمودارها، جدول‌ها و بررسی‌های به عمل آمده می‌توان نتیجه گرفت که روش‌های به کاررفته در محاسبه ضریب تشت در اکثر شهرستان‌های استان کرمانشاه از نتایج بسیار نزدیکی بهم برخوردار بودند. طبق نتایج حاصل از شاخص‌های آماری در دوره‌های روزانه در ایستگاه اسلام‌آبادغرب ضریب اورنگ (۱۹۹۸) با میزان RMSE برابر با شش، در ایستگاه قصرشیرین ضریب اورنگ با RMSE برابر با ۲/۱، در ایستگاه گیلان‌غرب روش اورنگ با RMSE برابر با ۲/۳۵، در ایستگاه سراوود روش اورنگ با میزان RMSE برابر با ۴/۸، در ایستگاه کرمانشاه روش آلن و پروت (۱۹۹۱) با میزان RMSE برابر ۲/۶، در ایستگاه سقرا روش اورنگ با RMSE برابر ۰/۶۵ و در نهایت در ایستگاه سرپل‌ذهب روش‌های اورنگ و اشنایدر اصلاح شده به ترتیب با میزان RMSE برابر ۶/۵ و ۰/۶۰ و در ایستگاه سرپل‌ذهب روش‌های اورنگ و اشنایدر اصلاح شده به ترتیب با میزان RMSE برابر ۰/۶۵ و ۰/۶۰ بهترین عملکرد را داشتند. در مقابل در تمام ایستگاه‌های موربدبرسی بیشترین میزان خطأ و کمترین دقت برآورد مربوط به روش اشنایدر بود. با توجه به نتایج ارائه شده در اکثر ایستگاه‌های موربدبرسی روش اورنگ نتایج بهتری را از خود ارائه داد و پیشنهاد می‌شود، جهت برآورد ضریب تشت هر شهرستان از روشی که دارای ضریب همبستگی بالاتری است همانند روش اورنگ، استفاده و در محاسبات نیاز آبی مبذول شود.

۵. پی‌نوشت‌ها

1. Support vector regression
2. Long-Short Term Memory
3. Multilayer Perceptron

۶. تعارض منافع

هیچ‌گونه تعارض منافعی بین نویسنده‌گان وجود ندارد.

۷. منابع مورداً استفاده

Ahmadi, M., Farhadi Bansouleh, B., & Nazif Naini, M. (2011). Evaluation of the accuracy of artificial neural network in estimating reference transpiration evaporation and evaporation coefficient in comparison with methods of estimating coefficient. In: Proceeding of 4th Conference on Water Resources Management, May 13-14 Amir Kabir University of Technology, Tehran, Iran, (In Persian).

- Akbari Nodehi, D. (2021). Estimation of Evaporation Plate Coefficient to Calculate Transpiration Evaporation (Case Study: Sari Synoptic Station). *Journal of Soil Science Research*, 2(7), 65-74. (In persian).
- Allen, R. G., Pereira, L. S., Raes, D., & Smith, M. (1998). Crop evapotranspiration: guidelines for computing crop water requirements. FAO Irrigation and Drainage paper 56. FAO, Rome, 300(9), D05109.
- Allen, R. G., & Pruitt, W. O. (1991) FAO-24 reference evapotranspiration factors. *Journal of Irrigation and Drainage Engineering, ASCE*, 110(3), 289-303.
- Amiri, M., Abedi koupaei, J., & Khazaei, M. (2008). Estimation best method of class A pan coefficient for estimating daily evapotranspiration in Esfahan province. In: Proceeding of .3rd National Conference on Integrated Water Resources Management, October 14 University of Tabriz, Iran, (In Persian).
- Cuenca, R. H., & Nicholson, M.T. (1982). Application of Penman equation wind function. *Journal of the Irrigation and Drainage Division*, 108(1), 13-23.
- Ditthakit, P., & Kaewthong, N. (2020) Estimating Pan Coefficient Using Soft Computing Methods. *International Journal of Civil Engineering and Technology*, 11(3), 51-62.
- Doorenbos, J., & Pruitt, W. O. (1977). Guidelines for prediction of crop water requirements. FAO- 24, Food and Agriculture Organization, Rome.
- Ghamarnia, H., Daechin, S., Jalili, Z., Farmani, M., & Razdar, B. (2012). Comparing the coefficient estimates pan evaporation methods to calculate reference crop evapotranspiration (Case study: Synoptic station of Zanjan). Proceeding of 3rd National Conference on Integrated Water Resources Management. October 14 University of Tabriz, Iran, (In Persian).
- Ghamarnia, H., & Soltani, N. (2019). Evaluating the Efficiency of Empirical Estimation of Reference Evapotranspiration (Pan Based Method) in Different Climate Conditions of Iran. *Iran-water resources research*, 14(4), 174-193 (In Persian).
- Gundekar, H. G., Khodke, U. M., Sarkar, S., & Rai, R. K. (2008). Evaluation of pan coefficient for reference crop evapotranspiration for semi-arid region. *Irrigation Science*, 26(2), 169-175.
- Irmak, S., Haman, D.Z., & Jones, J. W. (2002). Evaluation of Class A pan coefficients for estimating reference evapotranspiration in humid location. *Journal of Irrigation and Drainage Engineering*, 128(3), 153-159.
- Jensen, M. E. (1974) Consumptive use of water and irrigation water requirements. *Journal of the Irrigation and Drainage Division. ASCE*, 89, 15-41.
- Mohamed, H., Wahed, A., & Snyder, R. L. (2008) Simple equation reference evapotranspiration from evaporation pans surrounded by fallow soil. *Journal of Irrigation and Drainage Engineering, ASCE* 134(4), 425-429.
- Nazemi, A. H., Parandin, M. A., & Sadredini, A. A. (2021). Evaluation of Different Determination Methods of Class A Pan Evaporation Coefficient for Estimation daily Evapotranspiration In Islamabad-Gharb Area, *Journal of Water Engineering*, 9(1), 42-57. (In Persian).
- Orang, M. (1998). *Potential accuracy of the popular non-linear regression equation for estimating pan coefficient values in the original and FAO-24 tables*. Unpublished California Departments of Water Resources Report, Sacramento, Calif.
- Pereira, A. R., Villanova, N., Pereira, A. S., & Baebieri, V.A. (1995). A model for the class-A pan coefficient. *Agriculture Water Manage*, 76(2), 75-82.
- Raghwanshi, N. S., & Wallender, W. W. (1998) converting from pan evaporation to evapotranspiration. *Journal of Irrigation and Drainage Engineering*, 124(5), 275-277.
- Samii, A., Karami, H., Ghazvinian, H., Safari, A., & DadrasAjirlou, Y. (2022). Evaluation of the efficiency of DEEP-LSTM model in estimating evaporation from the pan in dry areas and its comparison with MLP model.

- Shokri, S., Hooshmand, A. R., & Ghorbani, M. (2016). The estimation evaporation pan coefficient for calculating reference evapotranspiration in Ahvaz. *Journal of Irrigation Science and Engineering*, 40(1), 1-12. (In Persian).
- Snyder, R. L. (1992). Equation for evaporation pan to evapotranspiration conversions. *Journal of Irrigation and Drainage Engineering*, 118(6), 977-980.
- Zare Abyaneh, H., & Smaeli, S. (2021). Evaluation of Pan Coefficient Estimation Methods to Calculate the Amount of Evapotranspiration (Case Study Kurdistan Province). *Iranian Soil and Water Research*, 52(2), 329-344. (In Persian)